

## تأثیر دو نوع تمرین (تداومی و تناوبی) و داروی آترواستاتین بر بیان ژن‌های PP2Ac و GSK-3 $\beta$ بافت قلب رت‌های مدل دیابتی

مریم ابراهیمی<sup>۱</sup>، حبیب اصغرپور<sup>۲</sup>، پروین فرزانه‌گی<sup>۳</sup>، رضا رضایی شیرازی<sup>۴</sup>

- ۱- دانشجوی دکتری، گروه تربیت بدنی و علوم ورزشی، واحد علی آباد کتول، دانشگاه آزاد اسلامی، علی آباد کتول، ایران
- ۲- استادیار، گروه تربیت بدنی و علوم ورزشی، واحد علی آباد کتول، دانشگاه آزاد اسلامی، علی آباد کتول، ایران. نویسنده مسئول: Dr.habibasgharpour@aliabadiu.ac.ir
- ۳- دانشیار، گروه تربیت بدنی و علوم ورزشی، واحد ساری، دانشگاه آزاد اسلامی، ساری، ایران
- ۴- استادیار، گروه تربیت بدنی و علوم ورزشی، واحد علی آباد کتول، دانشگاه آزاد اسلامی، علی آباد کتول، ایران

تاریخ پذیرش: ۱۴۰۱/۱۲/۱۸

تاریخ دریافت: ۱۴۰۱/۰۶/۰۳

### چکیده:

**زمینه و هدف:** به غیر از فشارخون بالا و بیماری عروق کرونر دیابت نیز می‌تواند به‌طور مستقیم بر ساختار و عملکرد قلب تأثیر گذارد و عارضه‌ای را که کاردیومیوپاتی دیابتی نام گرفته است به‌دنبال داشته باشد، هدف از پژوهش حاضر بررسی اثر دو نوع تمرین (تداومی و تناوبی) و داروی آترواستاتین بر بیان ژن‌های PP2Ac و GSK-3 $\beta$  بافت قلب رت‌های مدل دیابتی می‌باشد.

**مواد و روش:** ۶۴ سر موش صحرایی نر، که در ۸ گروه به‌صورت تصادفی تقسیم‌بندی شدند: شامل (۱) کنترل، (۲) دیابتی، (۳) دیابتی + تداومی، (۴) دیابتی + تناوبی، (۵) آترواستاتین، (۶) تداومی + آترواستاتین، (۷) تناوبی + آترواستاتین و (۸) سالین. رت‌ها دو نوع تمرین تداومی و تناوبی را ۵ روز در هفته و به‌مدت ۸ هفته اجرا نمودند. آترواستاتین به‌صورت روزانه با دوز ۲۰ میلی‌گرم به‌ازای هر کیلوگرم وزن بدن به‌صورت درون صفاقی به آنان تزریق شد.

**نتایج:** القای دیابت منجر به کاهش معنی‌دار بیان ژن PP2Ac و افزایش معنی‌دار بیان ژن GSK-3 $\beta$  بافت قلب رت‌ها شد، که انجام تمرین تداومی و ترکیب تمرین تناوبی و تداومی با داروی آترواستاتین منجر به افزایش PP2Ac و کاهش GSK-3 $\beta$  بافت قلب رت‌های دیابتی نسبت به گروه کنترل دیابتی گردید.

**نتیجه‌گیری:** این احتمال وجود دارد که فعالیت ورزشی منظم در ترکیب با آترواستاتین به‌تواند از طریق افزایش ژن PP2Ac و کاهش ژن GSK-3 $\beta$  بافت قلب از توسعه کاردیومیوپاتی که در اثر القای دیابت به‌وجود آمد جلوگیری نماید و دارای اثر حفاظتی بر قلب باشد.

**کلمات کلیدی:** تمرینات تداومی و تناوبی، آترواستاتین، کاردیومیوپاتی دیابت، GSK-3 $\beta$ ، PP2Ac.

## مقدمه:

انتقال هسته‌ای NF- $\kappa$ B کمک می‌کند، و آپوپتوز را در کاردیومیوسیت‌های درمان‌شده با گلوکز بالا شروع می‌کند. جالب است بدانید که غیرفعال‌سازی PP2Ac، که ناشی از فعال شدن GSK-3 $\beta$  است، در هر دو سلول HEK293<sup>2</sup> و N2a<sup>3</sup> گزارش شده است (۸). افزایش فعالیت GSK-3 $\beta$  در دیابتی‌ها و در مقاومت به انسولین نشان داده شد. بنابراین، GSK-3 $\beta$  فعال‌شده ممکن است منجر به غیرفعال‌شدن PP2Ac و متعاقب آن فسفوریلاسیون IKK/I $\kappa$ B $\alpha$  و انتقال هسته‌ای NF- $\kappa$ B شود. سرانجام این می‌تواند منجر به ایجاد آپوپتوز و توسعه کاردیومیوپاتی دیابتی شود. بنابراین داروهای مهارکننده GSK-3 $\beta$  ممکن است از عوامل بالقوه مفیدی برای درمان DCM<sup>4</sup> باشد (۹).

آترواستاتین یک داروی استاتینی است که فعالیت آنزیم ۳-هیدروکسی-۳-متیل گلووتاریل کوآنزیم A ردوکتاز<sup>5</sup> را مهار می‌کند. این آنزیم سنتز مولونات را کاتالیز می‌کند که فرایندی محدودکننده در بیوستتر کلسترول است. کاهش کلسترول داخل سلولی منجر به افزایش جبرانی در برداشت کلسترول به وسیله گیرنده‌های لیپوپروتئین کم‌چگال (LDL<sup>6</sup>) و کاهش کلسترول پلاسما می‌شود. استاتین‌ها جدا از کاهش کلسترول LDL، دارای مجموعه‌ای از اثرات مفید بر عناصر مختلف آترواسکلروز از جمله عملکرد اندوتلیال، مهاجرت سلول، التهاب و تمایل ترومبوتیک پلاک آترواسکلروزی هستند (۱۰).

یک مطالعه نشان داد که آترواستاتین توسعه DCM

دیابت نوع ۲ یک بیماری متابولیک پیچیده است که با عوامل محیطی و ژنتیکی مانند: ژن‌های مستعد کاستی در سنتز انسولین، مصرف غذاهای پرکالری، عدم فعالیت بدنی، مصرف زیاد الکل و چاقی همراه است که منجر به نقص در ترشح و سیگنال‌دهی انسولین می‌گردد و به دنبال آن هایپرگلیسمی و مقاومت به انسولین ایجاد می‌شود (۱). امروزه بررسی‌های بالینی و آزمایشگاهی به‌خوبی نشان داده‌اند که دیابت جدای از فشارخون بالا و بیماری عروق کرونر، می‌تواند به‌طور مستقیم بر ساختار و عملکرد قلب تأثیر گذارد و عارضه‌ای را که کاردیومیوپاتی دیابتی نام گرفته است به دنبال داشته باشد. این بیماری با نارسایی بطنی، در غیاب فشارخون بالا و آترواسکلروز مشخص می‌شود. این اختلال در قلب کامل، بافت و میوسیت‌های ایزوله‌شده از بیماری دیابتی مشاهده شده است (۲، ۳).

سازوکار دقیق بروز کاردیومیوپاتی دیابتی به‌خوبی شناخته نشده است؛ اما سازوکارهای متعددی از جمله نقص در بیان پروتئین‌های مسیر راپامایسین در پستانداران (۴)، اختلال متابولیسم انسولین (۵) و ناهنجاری‌های میوفیلامنت‌ها (۶) در بروز این عارضه دخیل هستند. اختلال در سوخت و ساز انسولین در قلب، کلید اصلی در پاتوفیزیولوژیک اختلال مرتبط با کاردیومیوپاتی دیابتی است. اختلال سیگنالینگ در مسیرهای مرتبط با سیگنالینگ انسولین می‌تواند مسیر بسیار مهمی مانند GSK-3 $\beta$ /PP2Ac/ NF- $\kappa$ B را دچار اختلال کند (۵، ۶).

نیزامودینوا<sup>۱</sup> و همکاران (۷) یافتند که سرکوب فعال‌سازی PP2Ac به فسفوریلاسیون IKK/I $\kappa$ B $\alpha$  پایدار و متعاقب آن

<sup>2</sup> Human embryonic kidney 293

<sup>3</sup> Neuro2a

<sup>4</sup> Dilated cardiomyopathy

<sup>5</sup> 3-Hydroxy-3-Methyl glutaryl CoA Reductase

<sup>6</sup> Low-density lipoprotein

<sup>1</sup> Nizamutdinova

تشکیل دادند. با توجه به این که آزمودنی‌ها در آزمایشگاه به لحاظ بسیاری از متغیرها تحت کنترل بودند، از این رو پژوهش حاضر از نوع تجربی می‌باشد. این تحقیق در قالب رساله دکتری در دانشگاه آزاد اسلامی واحد ساری با کد اخلاق NO.19.33.2018 انجام شد.

#### جامعه و نمونه آماری: در این مطالعه تجربی تعداد ۶۴

سر موش صحرایی نر نژاد ویستار با سن حدود ۶ تا ۸ هفته در مرکز پرورش و نگهداری حیوانات آزمایشگاهی دانشگاه آزاد اسلامی واحد ساری انتخاب و وارد پژوهش شدند. سپس آن‌ها در ۵ گروه بصورت تصادفی تقسیم بندی شدند که شامل (۱) کنترل سالم، (۲) کنترل دیابتی، (۳) دیابتی + تداومی، (۴) دیابتی + تناوبی، (۵) آترواستاتین، (۶) تداومی + آترواستاتین، (۷) تناوبی + آترواستاتین و (۸) سالین بود. این مطالعه توسط کمیته اخلاق کار با حیوانات دانشگاه آزاد اسلامی واحد ساری تأیید شد.

#### محیط پژوهش و تغذیه آزمودنی‌ها: پس از انتقال

حیوانات به آزمایشگاه در قفس‌هایی از جنس پلی کربنات، دمای  $22 \pm 2$  درجه سانتی گراد، رطوبت  $55 \pm 5$  درصد و چرخه روشنایی به تاریکی ۱۲:۱۲ با تهویه مناسب قرار گرفتند. آزمودنی‌ها جیره غذایی پر چرب به روش Zou و همکاران داشتند که امولسیون هر روز صبح به میزان ۱۰ میلی لیتر به ازاء هر کیلو گرم وزن بدن به صورت گاوآژ دریافت کرد. در تمام مراحل پژوهش، آب مورد نیاز حیوان به صورت آزاد در بطری ۵۰۰ میلی لیتری ویژه حیوانات آزمایشگاهی در دسترس آنها بود.

#### نحوه دیابتی کردن رت‌ها: پس از گروه بندی موش

تجربی را، احتمالاً به دلیل اثرات محافظتی‌اش در برابر آپوپتوز، و مستقل از کاهش کلسترول LDL کاهش داده است (۱۱). مطالعه‌ی دیگری گزارش داد که آترواستاتین برآمدگی نوریت در سلول‌های عصبی قشری کشت شده را با غیرفعال کردن GSK-3 $\beta$  افزایش داد (۱۲).

از طرفی، توانبخشی قلبی ناشی از فعالیت ورزشی یک مداخله غیردارویی مؤثر و شناخته شده می‌باشد. شواهد نشان می‌دهد که فعالیت بدنی منظم بیان miRNAها را تعدیل می‌کند (۱۳)، و می‌تواند تغییرات مفیدی را در مسیرهای سیگنالینگ در دیابت ایجاد کند، هم‌چنین افزایش حساسیت به انسولین و کاهش مقاومت به انسولین را به همراه داشته باشد (۱). تمرین منظم ورزشی باعث بهبود عملکرد قلب در افراد مسن از طریق افزایش کسر تخلیه، برون‌ده قلبی و شاخص قلبی می‌شود (۱۴). اثر محافظت قلبی فعالیت ورزشی نه تنها عملکرد قلبی را بهبود می‌بخشد بلکه هم‌چنین به عنوان جایگزینی برای بهبود متابولیسم و عملکرد میتوکندری عمل می‌کند (۱۵). مطالعات پیشین نشان داده‌اند که تمرینات ورزشی متابولیسم میتوکندری را از طریق افزایش سنتز ATP میتوکندریایی با فسفوریلاسیون اکسیداتیو، و هم‌چنین تنفس میتوکندریایی را توسط تغییر بیان پروتئین میتوکندریایی در عضله اسکلتی بهبود بخشید (۱۶). با این حال مکانیسم‌های اساسی که فعالیت ورزشی عملکرد قلب را در کاردیومیوپاتی دیابتی بهبود می‌بخشد کاملاً مشخص نیست. لذا این پژوهش بنا دارد به بررسی دو نوع تمرین (تداومی و تناوبی) و داروی آترواستاتین بر بیان ژن GSK-3 $\beta$  و PP2Ac بافت قلب رت‌های مدل دیابتی بپردازد.

#### مواد و روش:

نمونه‌های پژوهش حاضر را موش‌های آزمایشگاهی

درجه سانتی‌گراد نگهداری و سپس به آزمایشگاه برای اندازه‌گیری متغیرهای PPA2c و NF-kB ارسال شد. بافت با استفاده از یک میلی‌مول محلول تریزول لیز و با دستگاه همگن‌کننده بافت، هموژن شد. در مرحله بعد، جداسازی از فاز آبی به کمک ۰/۲۵ میلی‌لیتر کلروفرم صورت گرفت. RNA استخراج شده با یک میلی‌لیتر اتانول سرد ۷۰ درصد شستشو و خشک شدند. سپس به آن آب استریل (۱/۵ میکرولیتر بر میلی‌گرم بافت) اضافه شد. برای سنج کمی RNA استخراج شده از دستگاه بايوفتومر با طول موج ۲۶۰ نانومتر استفاده شد. میانگین OD خوانده شده ۱/۷۷ بود که نشانگر کارایی مناسب RNA استخراج شده است. استخراج cDNA برای هر نمونه سه مرحله انجام گرفت. بدین ترتیب که در ابتدا ۸ میکروگرم از RNA استخراج شده را با ۰/۸ میکرولیتر از آنزیم Dnase I و ۲ میکرولیتر از بافر ۱۰x آن و آب DEPC خورده مخلوط کرده و حجم نمونه به ۲۰ میکرولیتر رسانده شد. محصول ایجاد شده را بدون ورتکس کردن و به آرامی مخلوط کرده و سپس با برنامه‌ریز در دستگاه ترموسایکر انکوبه شد: ۵ دقیقه در دمای ۵۵ درجه سانتیگراد، ۱۵ دقیقه در دمای ۲۵ درجه سانتیگراد، ۳۰ دقیقه در دمای ۴۲ درجه سانتیگراد، ۵ دقیقه در دمای ۹۵ درجه سانتیگراد. پس از اتمام مراحل ترموسایکلر ۲۸۰ میکرولیتر آب تزریقی اضافه شد و برای استفاده در QPCR در دمای ۲۰- درجه سانتیگراد نگهداری شدند. برای هر نمونه cDNA نیز، یک نمونه کنترل مثبت با پرایمر b2m به عنوان کنترل داخلی، برای آزمون حضور cDNA تهیه شد. نمونه‌ها به آرامی و بدون ورتکس مخلوط شده و در دستگاه RT-PCR با برنامه ریز PCR قرار گرفتند. ۱۰ دقیقه در دمای ۹۵ درجه سانتیگراد، ۱۰ ثانیه در دمای ۹۵ درجه سانتیگراد، ۱۵ ثانیه در دمای ۶۰ درجه

ها برای دیابتی کردن موش‌ها از داروی استرپتوزوتوسین<sup>۷</sup> (STZ) با دوز ۵۰ میلی‌گرم به ازای هر کیلوگرم وزن بدن استفاده شد که به صورت درون صفاقی به آن‌ها تزریق شد و برای اطمینان از دیابتی بودن موش‌ها از گوشه چشم نمونه‌های خونی تهیه شد و میزان گلوکز سنجش، که بالاتر از ۱۲۶ میلی‌گرم بر دسی‌لیتر در نظر گرفته شد.

### پروتکل تمرین ورزشی: قبل از شروع پروتکل

اصلی، برای آشنایی از فعالیت، موش‌ها به مدت یک هفته با تواتر پنج جلسه و به مدت پنج دقیقه با سرعت ۸ تا ۱۰ متر بر دقیقه با شیب صفر از تردمیل استفاده شد. برنامه تمرینی شامل دو پروتکل تمرین تداومی و تناوبی بود. برنامه تمرین تداومی مطابق جدول ۱ اجرا شد. از سویی دیگر برنامه تمرین تناوبی شامل شش ست ۲/۵ دقیقه‌ای بود که بین هر ست مدت زمان چهار دقیقه استراحت در نظر گرفته شد. لازم به ذکر است تمرین تناوبی برای مدت ۵ جلسه در هفته انجام شد (جدول ۲). هم‌چنین موش‌های گروه کنترل بدون هیچ‌گونه تمرینی هشت هفته را پشت سر گذاشتند. **نحوه مصرف آترواستاتین:** آترواستاتین در گروه‌های دارو و دارو+تمرین، به صورت روزانه با دوز ۲۰ میلی‌گرم به ازای هر کیلوگرم وزن بدن به صورت درون صفاقی به آنان تزریق شد (۹).

### نحوه جداسازی نمونه‌های بافتی: پس از اتمام

دوره تمرینی ۴۸ ساعت پس از آخرین جلسه تمرینی با ۱۰ تا ۱۲ ساعت ناشتایی شبانه با تزریق درون صفاقی ترکیبی از کتامین و زایلازین رت‌ها بی‌هوش شدند و نمونه‌گیری بافتی انجام شد. بدین ترتیب بافت قلب آنها جدا و در محیط ۸۰-

<sup>7</sup> Streptozotocin

۳. کمی‌سازی مقادیر بیان ژن هدف مورد نظر با کمک فرمول لیواک انجام شد.

سانتی‌گراد، ۲۰ ثانیه در دمای ۷۲ درجه سانتی‌گراد، واکنش از مرحله دوم به بعد، برای ۴۰ سیکل تکرار شد. Cts مربوط به واکنش‌ها توسط نرم افزار دستگاه RT-PCR استخراج و در نهایت CT Mean سه مرتبه ثبت شد. پرایمرهای مورد استفاده در این پژوهش در جدول آورده شده است (جدول

جدول ۱. پروتکل تمرین تداومی

مدت	سرعت	هفته
۵-۷	۱۴-۱۶	۱-۲
۱۲-۱۰	۲۱-۱۹	۳-۴
۱۷-۱۵	۲۵-۲۳	۵-۶
۲۲-۲۱	۲۸-۲۹	۷-۸

جدول ۲. پروتکل تمرین تناوبی

مدت	سرعت	هفته
۶ ست ۵/۲ دقیقه ای	۱۴-۱۶	۱-۲
*	۱۹-۲۱	۳-۴
*	۲۵-۲۴	۵-۶
*	۲۹-۲۸	۷-۸

معنی‌دار بودن داده‌ها برای تعیین محل تفاوت از آزمون تعقیبی توکی استفاده شد. یافته‌ها در سطح اطمینان ۹۵ درصد ( $P \leq 0.05$ ) بررسی شدند و برای تجزیه و تحلیل آماری داده‌ها نیز از نرم افزار IBM SPSS Statistics نسخه ۲۰ استفاده

**روش تجزیه و تحلیل داده‌ها:** جهت طبقه‌بندی داده‌های حاصل از این پژوهش، از آمار توصیفی استفاده شد. جهت تعیین نرمال بودن توزیع داده‌ها از آزمون شاپیروویلک استفاده گردید. جهت تعیین معنادار بودن تفاوت بین متغیرها و تعامل بین آنها از تحلیل واریانس یک طرفه و در صورت

گردید. تمامی داده‌ها به صورت میانگین  $\pm$  انحراف معیار ارائه شدند. گروه‌های مختلف پژوهش در جدول ۴ ارائه شده است.

### یافته‌ها:

جدول ۳. توالی پرایمرها

ژن		توالی پرایمر (5'→3')
PP2A <sup>c</sup>	Forward	CTAGAGGATGGCTGCACTAAACAC
	Reserve	AAGCAAACAGGGCCAATGTC
GSK-3 $\beta$	Forward	CAAAGCAGCTGGTCCGAGG
	Reserve	TCCACCAACTGATCCACACCAC

جدول ۴: شاخص‌های مرکزی و پراکندگی سطوح PP2Ac در گروه‌های مختلف پژوهش

انحراف معیار	میانگین	گروه
.00894189	.0678881	سالم
.01484079	.0198084	بیمار
.00012411	.0001903	سالمین
.01557729	.0283415	تناوبی
.01231068	.0570195	تداومی
.00006956	.0001539	دارو
.03221614	.0745074	تناوبی دارو
.00894189	.0678881	تداومی دارو

توصیف GSK-3 $\beta$ : میانگین و انحراف معیار سطوح GSK-3 $\beta$  در گروه‌های مختلف پژوهش در جدول ۵ ارائه شده است.

جدول ۵: شاخص‌های مرکزی و پراکندگی سطوح GSK-3 $\beta$  در گروه‌های مختلف پژوهش

انحراف معیار	میانگین	گروه
.00008009	.0003943	سالم
.01118478	.0359855	بیمار
.00018800	.0004840	سالمین
.00630233	.0167863	تناوبی
.00254599	.0113602	تداومی
.00655106	.0277208	دارو
.00417888	.0092787	تناوبی دارو
.00331782	.0076252	تداومی دارو

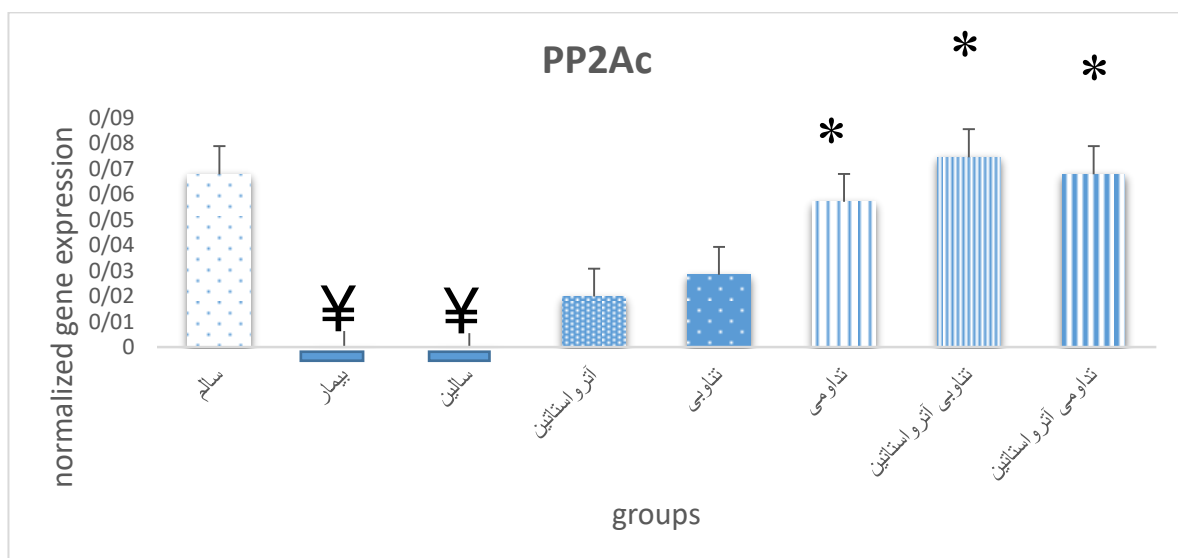
جهت بررسی نرمال بودن توزیع داده‌ها از آزمون شاپیروویلیک استفاده شد که نتایج آن در جدول ۶ ارائه شده است.

جدول ۶. نتایج آزمون نرمال بودن داده‌ها

گروه	GSK-3 $\beta$	PP2Ac
سالم	.975	.147
بیمار	.621	.057
سالمین	.465	.054
تناوبی	.555	.133
تداومی	.471	.396
دارو	.867	.051
تناوبی دارو	.472	.629
تداومی دارو	.432	.147

( $P=0.009$ )، تناوبی دارو ( $P=0.004$ ) و تداومی دارو ( $P=0.001$ ) سبب افزایش معنی‌دار این ژن در بافت قلب نسبت به رت‌های گروه کنترل دیابت شد، انجام تمرینات تداومی اثر بهتری نسبت به تمرینات تناوبی در افزایش این ژن داشت و هم‌چنین در گروه ترکیبی تمرین تداومی و تناوبی به-همراه داروی آترواستاتین بهترین نتیجه حاصل شد و مقادیر به گروه کنترل سالم نزدیکتر بود (نمودار ۱).

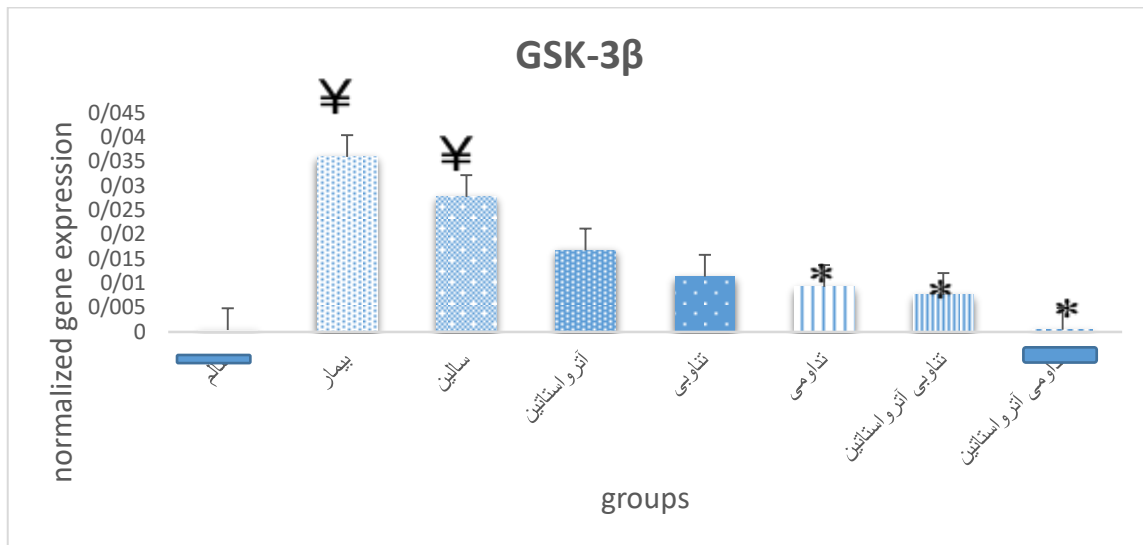
براساس داده‌های جدول ۶، چون در سطح اطمینان ۹۵٪ و خطای اندازه‌گیری ۵٪، برای کلیه متغیرها سطح معناداری  $\text{Sig} > 0.05$  محاسبه شد، لذا توزیع داده‌ها نرمال است و جهت تجزیه و تحلیل استنباطی داده‌ها، استفاده از آزمون‌های آماری پارامتریک مجاز است. القای دیابت سبب کاهش معنی‌دار (۷۰/۸۳۹٪) بیان ژن PP2Ac بافت قلب نسبت به گروه کنترل سالم شد ( $P=0.000$ ). که انجام تمرینات تداومی



نمودار ۱. مقایسه میانگین سطوح PP2Ac در گروه‌های مختلف پژوهش  
\* نشانه معنی‌داری نسبت به گروه بیمار † نشانه معنی‌داری نسبت به گروه سالم

کاهش معنی دار این ژن نسبت به گروه کنترل دیابتی شدند. در مورد این ژن نیز اثر تمرین تداومی بهتر از تمرین تناوبی بود، هم چنین بهترین نتیجه در گروه تمرین تداومی دارو بدست آمد (نمودار ۲).

هم چنین در مورد بیان ژن  $GSK-3\beta$  بافت قلب رت-ها، با القای دیابت بیان این ژن نسبت به گروه کنترل سالم افزایش (۹۹/۷۹٪) معنی داری داشت ( $P=0.000$ ). گروه تمرینات تداومی ( $P=0.046$ )، تمرینات تناوبی دارو ( $P=0.017$ ) و تمرینات تداومی دارو ( $P=0.007$ ) باعث



نمودار ۲. مقایسه میانگین سطوح  $GSK-3\beta$  در گروه های مختلف پژوهش

\*نشانه معنی داری نسبت به گروه بیمار ¥ نشانه معنی داری نسبت به گروه سالم

درد در نوروپاتی دیابتی می شود (۱۹)، بنابراین بکارگیری عواملی که به تولید یا فعال سازی آن ها را مهار کند، ممکن است سبب تأخیر یا توقف عوارض ناشی از دیابت شوند. لذا در این پژوهش افزایش ژن  $PP2A$  و کاهش ژن  $GSK-3\beta$  بافت قلب رت های دیابتی ناشی از انجام تمرینات تداومی و تناوبی به همراه مصرف داروی آترواستاتین ممکن است با مهار فعال سازی  $NF-\kappa B$  از القای آپوپتوز و توسعه کاردیومیوپاتی جلوگیری نماید.

چنگ<sup>۱۰</sup> و همکاران (۲۰۲۰) نشان دادند که فعالیت  $PP2A$  در اثر ضد آپوپتوز و ضد التهاب فعالیت ورزشی منظم

## بحث

هایپرگلیسمی یکی از عوارض دیابت است که با افزایش تشکیل  $ROS$  و  $AGE^8$  سبب فعال سازی  $NF-\kappa B$  می شود (۱۷). هم چنین، چن<sup>۹</sup> و همکاران (۲۰۱۱) فعال سازی سیگنالینگ  $NF-\kappa B$  را با افزایش تخریب پروتئین عضله و با اختلال در تنظیم هموستاتیک توده عضلانی در دیابت مرتبط دانستند (۱۸). هم چنین افزایش سطح اینترلوکین ها و سایتوکاین هایی مانند  $TNF-\alpha$  و  $IL-1\beta$  در پاسخ به فعال سازی  $NF-\kappa B$  سبب تشدید نوروپاتی و افزایش حساسیت به

<sup>8</sup> Advanced glycation end-products

<sup>9</sup> Chen

<sup>10</sup> Cheng



روی کاردیومیوسیت‌های دیابت شرکت داشت (۲۰). در پژوهش حاضر نیز تمرینات تداومی منظم کاهش به‌وجود آمده در محتوای PP2A در اثر القای دیابت را تا حدودی جبران و به سطح PP2Ac موش‌های سالم نزدیک کرد. این احتمال وجود دارد که فعالیت بدنی از این طریق منجر به مهار سیگنالینگ NF- $\kappa$ B شده و از پیشرفت کاردیومیوپاتی ناشی از دیابت جلوگیری نماید. PP2A یک پروتئین ضدالتهابی و ضدسرطان قوی در سلول‌های پستانداران است (۲۱). گزارش شده است که PP2A باعث مهارشدن فعالیت مسیر سیگنالینگ NF- $\kappa$ B با کاتالیز کردن دفسفوریلاسیون IKK, IjBa و P56، در نتیجه کاهش در ورود هسته‌ای زیرواحدهای NF- $\kappa$ B و فعالیت رونویسی آن‌ها می‌شود (۲۲).

از دیگر نتایج پژوهش، دیابت سبب افزایش معنی‌دار بیان ژن GSK-3 $\beta$  بافت قلب رت‌ها نسبت به گروه کنترل سالم شد. داروی آترواستاتین به‌تنهایی تغییر معنی‌داری در بیان این ژن نسبت به رت‌های گروه دیابت ایجاد نکرد، درحالی‌که آترواستاتین در ترکیب با تمرین تداومی و تمرین تناوبی سبب کاهش معنی‌دار بیان ژن GSK-3 $\beta$  بافت قلب رت‌های دیابتی شد. هم‌چنین، القای دیابت سبب کاهش معنی‌دار بیان ژن PP2Ac بافت قلب رت‌ها نسبت به گروه کنترل سالم شد. داروی آترواستاتین به‌تنهایی تغییر معنی‌داری در بیان این ژن نسبت به رت‌های گروه دیابت ایجاد نکرد، درحالی‌که آترواستاتین در ترکیب با تمرین تداومی و تمرین تناوبی سبب افزایش معنی‌دار بیان ژن PP2Ac بافت قلب رت‌های دیابتی شد.

افزودن داروی آترواستاتین به فرایند درمان همراه با تمرین منظم ورزشی، باعث بهبود قابل ملاحظه میزان آسیب در بافت

قلب موش‌های دیابتی شده است. از طرف دیگر، با توجه به اینکه میزان بهبودی در گروه آترواستاتین، کمتر از گروه ترکیبی (آترواستاتین+تمرین) بوده است، بنابراین می‌توان بخشی از بهبودی میزان آسیب در گروه ترکیبی به اثرات مفید تمرین ورزشی منظم نسبت داد که به نظر می‌رسد در حضور داروی آترواستاتین بروز کرده است، نشان داده شده است که داروی استاتینی علاوه بر کاهش کلسترول LDL، دارای اثرات گسترده‌ای بر عملکرد عروقی هستند. این اثرات شامل کاهش اندوتلین-۱ گردش خون، کاهش فعالیت عصبی سمپاتیك و کاهش گونه‌های فعال اکسیژن است. استاتین‌ها به-عنوان اتساع‌دهنده‌های عروقی عمل می‌کنند و باعث افزایش فعالیت آنزیم نیتریک اکساید سنتتاز اندوتلیالی (eNOS)، تولید نیتریک اکساید (NO) و در نتیجه بهبود عملکرد اندوتلیال می‌شوند (۹). هم‌چنین نشان داده شده است که این داروها باعث اعمال اثرات ضدالتهابی، ضداکسیدانی، رگ-زایی و پیشگیری از توسعه عوارض ناشی از دیابت بر بافت قلب می‌گردند (۲۳). ژیاو مین<sup>۱۱</sup> و همکاران یافتند که (۱) غیرفعال‌سازی مداوم PP2Ac، ناشی از GSK-3 $\beta$  فعال‌شده، در کاردیومیوسیت‌های تحت درمان با گلوکز بالا منجر به فعال‌سازی مداوم مسیر سیگنالینگ NF- $\kappa$ B و شروع آپوپتوز می‌شود. (۲) فسفوریلاسیون IKK/I $\kappa$ B $\alpha$  و انتقال هسته‌ی NF- $\kappa$ B در کاردیومیوسیت‌های تحت درمان با گلوکز بالا به‌طور قابل توجهی مهارشده بودند و آپوپتوز توسط درمان با آترواستاتین از طریق غیرفعال‌سازی GSK-3 $\beta$  و متعاقب آن فعال‌سازی PP2Ac کاهش یافت. (۳) فعال‌سازی GSK-3 $\beta$ ، فسفوریلاسیون IKK/I $\kappa$ B $\alpha$  و انتقال هسته‌ی NF- $\kappa$ B، اما نه فعال‌سازی PP2Ac در آزمودنی‌های دیابتی تحت درمان

<sup>11</sup> Xiao-min

سازی پایدار سیگنالینگ NF-κB بستگی داشته باشد. در مطالعه ژائو مین و همکاران فعالیت GSK-3β و فعال سازی پایدار سیگنالینگ NF-κB به طور قابل توجهی سرکوب شد، در حالی که فعال سازی PP2Ac، هم در کاردیومیوسیت های کشت شده با گلوکز بالا و هم در دیابت ملیتوس درمان شده با آترواستاتین ترمیم شد (۲۴).

### نتیجه گیری

در اثر القای دیابت بیان ژن GSK-3β افزایش معنی دار و بیان ژن PP2Ac بافت قلب کاهش معنی داری یافتند، که انجام تمرینات تداومی و تناوبی به همراه مصرف داروی آترواستاتین این روند رو برعکس و به سطح بیان ژن گروه کنترل سالم نزدیک کرد. لذا این احتمال وجود دارد که فعالیت ورزشی منظم در ترکیب با مصرف داروی آترواستاتین بتواند از طریق افزایش ژن PP2Ac و کاهش ژن GSK-3β و مهار سیگنالینگ NF-κB از توسعه کاردیومیوپاتی که در اثر القای دیابت به وجود آمد جلوگیری نماید و دارای اثر حفاظتی بر قلب رت های دیابتی باشد.

### تعارض منافع

نویسندگان مقاله تعارض در منافع ندارند

### تشکر و قدردانی

بدین وسیله، نویسندگان تشکر و قدردانی خود را از دانشگاه آزاد اسلامی واحد ساری اعلام می دارند.

### فهرست منابع

1. Alex Cleber Improta-Caria, Ricardo Augusto Leoni De Sousa, Leonardo Roever, Tiago Fernandes, Edilamar Menezes de Oliveira, Roque Aras Júnior, Bruno Solano de Freitas Souza. MicroRNAs in type 2

با آترواستاتین سرکوب شد. ناهنجاری های بافت شناسی، فیروز، آپوپتوز و اختلال عملکرد قلب هم چنین توسط تجویز آترواستاتین در آزمودنی های دیابتی بهبود یافته بود (۲۴).

آترواستاتین یک مهارکننده ی ردوکتاز HMG-CoA است و به عنوان داروی کاهنده ی کلسترول استفاده می شود. در مطالعات اخیر، این دارو پیشرفت DCM تجربی را، احتمالاً با اثر حفاظتی در برابر آپوپتوز، و مستقل از خواص کاهش دهنده ی کلسترول کاهش داد (۱۱). اثرات ضد آپوپتوتیک و محافظت قلبی آترواستاتین با مهار فعال سازی پایدار سیگنالینگ NF-κB توضیح داده می شود (۲۴).

فعال شدن GSK-3β ممکن است منجر به غیرفعال شدن PP2Ac و متعاقب آن فعال سازی مداوم سیگنالینگ NF-κB شود. در واقع، فسفوریلاسیون IKK/IκBα و انتقال هسته ای NF-κB در سلول هایی که بیان GSK-3β خاموش شده بود کاهش یافتند. این منجر به کاهش فعال شدن PP2Ac، در مقایسه با سلول های کنترل، در پاسخ به قرار گرفتن در معرض گلوکز بالا می شود. گزارش شده است که آترواستاتین از طریق غیرفعال کردن GSK-3β باعث افزایش رشد نوریت در سلول های عصبی قشر مغز می شود. بنابراین، اثرات ضد آپوپتوتیک و محافظت قلبی آترواستاتین در کاردیومیوسیت های کشت شده با گلوکز بالا، و در یک مدل تجربی DCM ممکن است به غیرفعال سازی GSK-3β و متعاقب آن فعال سازی PP2Ac و هم چنین به سرکوب فعال-

diabetes mellitus: potential role of physical exercise. Rev. Cardiovasc. Med. 2022; 23(1): 029.

2. Jokar M, Sherafati Moghadam M, Salesi M. The effect of endurance exercise on the content of AMPK and PGC-1α

proteins in the left ventricular heart tissue of male rats with type2 diabetes. Iranian Journal of Diabetes and Metabolism; Vol. 19, No 5, 2020. [In persion].

3. Hölscher M, Bode C, Bugger H. Diabetic cardiomyopathy: does the type of diabetes matter?. International journal of molecular sciences 2016;17(12):1-10.

4. Kim JA, Jang HJ, Martinez-Lemus LA, Sowers JR. Activation of mTOR/p70S6 kinase by ANG II inhibits insulin-stimulated endothelial nitric oxide synthase and vasodilation. American Journal of Physiology-Endocrinology and Metabolism 2011;302(2):201-8.

5. Jia G, Hill MA and Sowers JR. Diabetic Cardiomyopathy: an update of mechanisms contributing to this clinical entity. Circ. Res. 2018. 122 624–638.

6. Jia G, DeMarco VG, Sowers JR. Insulin resistance and hyperinsulinaemia in diabetic cardiomyopathy. Nature Reviews Endocrinology 2016;12(3):144-53.

7. Nizamutdinova IT, Guleria RS, Singh AB, Kendall JA Jr., Baker KM, Pan J. Retinoic acid protects cardiomyocytes from high glucose-induced apoptosis through inhibition of NF-kappaB signaling pathway. J Cell Physiol. 2013; 228(2):380±392.

8. Yao XQ, Zhang XX, Yin YY, Liu B, Luo DJ, Liu D, et al. Glycogen synthase kinase-3beta regulates Tyr307 phosphorylation of protein phosphatase-2A via protein tyrosine phosphatase 1B but not Src. Biochem J. 2011; 437(2):335±344.

9. Hanqing Zeng, Zhongtao Liu. Atorvastatin Induces Hepatotoxicity in Diabetic Rats via Oxidative Stress, Inflammation, and Anti-Apoptotic Pathway. Med Sci Monit, 2019; 25: 6165-6173.

10. Levadot J, Asahara T. Effects of statins on angiogenesis and vasculogenesis. Rev Esp Cardiol. 2012;55:838-44.

11. Abdel-Hamid AA, Firgany A. Atorvastatin alleviates experimental diabetic cardiomyopathy by suppressing apoptosis and oxidative stress. J Mol Histol. 2015; 46(4±5):337±345.

12. Jin Y, Sui HJ, Dong Y, Ding Q, Qu WH, Yu SX, et al. Atorvastatin enhances neurite outgrowth in cortical neurons in vitro via up-regulating the Akt/mTOR and Akt/GSK-3beta signaling pathways. Acta Pharmacol Sin. 2012; 33(7):861±872.

13. Improta-Caria AC, Aras R. Treinamento com Exercício Físico e Doença de Chagas: Função Potencial dos MicroRNAs. Arquivos Brasileiros De Cardiologia. 2021; 117: 132–141.

14. Shawn Yongshun Wang, Siyu Zhu & Jian Wu, Maomao Zhang, Yousheng Xu, Wei Xu et al. Exercise enhances cardiac function by improving mitochondrial dysfunction and maintaining energy homeostasis in the development of diabetic cardiomyopathy. Journal of Molecular Medicine. 2020. 10.1007/s00109-019-01861-2.

15. Seo DY et al. Aged garlic extract enhances exercise-mediated improvement of metabolic parameters in high fat diet-induced obese rats. Nutr Res Pract. 2012. 6(6):513–519

16. Seo DY, Lee SR, Kim N, Ko KS, Rhee BD, Han J. Agerelated changes in skeletal muscle mitochondria: the role of exercise. Integr Med Res. 2016. 5(3):182–186

17. Oyenih AB, Ayeleso AO, Mukwevho E, Masola B. Antioxidant

18. strategies in the management of diabetic neuropathy. *Biomed Res Int* 2015; 2015: 515042.

19. Chen SL, Hu ZY, Zuo GF, Li MH, Li B. I(f) current channel inhibitor (ivabradine) deserves cardioprotective effect via down-regulating the expression of matrix metalloproteinase (MMP)-2 and attenuating apoptosis in diabetic mice. *BMC Cardiovasc Disord.* 2014; 14:150.

20. Kempuraj D, Thangavel R, Natteru PA, Selvakumar GP, Saeed D, Zahoor H, et al. Neuroinflammation induces neurodegeneration. *J Neurol Neurosurg Spine* 2016; 1: 1003.

21. Cheng G, Li L. High-glucose-induced apoptosis, ROS production and pro-inflammatory response in cardiomyocytes is attenuated by metformin treatment via PP2A activation. *J Biosci* (2020) 45:126.

22. Enjoji S and Ohama T .The role of

protein phosphatase 2A in inflammation and cancer. *Nihon Yakurigaku Zasshi.* 2017. 149 208–212.

23. Nakajima S and Kitamura M. Bidirectional regulation of NF- $\kappa$ B by reactive oxygen species: a role of unfolded protein response. *Free Radic. Biol. Med.* 2013. 65 162–174.

24. Mehrad H, Mokhtari-Dizaji M, Ghanaati H. Effect of high-dose atorvastatin on advanced soft atherosclerotic plaque in rabbit carotid artery using ultrasonographic and histological methods. *Feyz* 2014; 18(1): 9-22

25. Ren X-m, Zuo G-f, Wu W, Luo J, Ye P, Chen S-l, et al. Atorvastatin Alleviates Experimental Diabetic Cardiomyopathy by Regulating the GSK-3 $\beta$ -PP2Ac-NF- $\kappa$ B Signaling Axis. *PLoS ONE.* 2016. 11(11): e0166740.



## The effect of two types of exercise (continuous and intermittent) and atrostatin on the expression of PP2Ac and GSK-3 $\beta$ genes in the heart tissue of diabetic rats

Maryam Ebrahimi<sup>1</sup>, **Habib Asgharpour**<sup>2</sup>, Parvin Farzanegi<sup>3</sup>, Reza Rezaei-Shirazi<sup>4</sup>

1-Ph. D Student, Department of Physical Education & Sports Sciences, Aliabad Katoul Branch, Islamic Azad University, Aliabad Katoul, Iran

2-Assistant Professor, Department of Physical Education & Sports Sciences, Aliabad Katoul Branch, Islamic Azad University, Aliabad Katoul, Iran Corresponding Author : [Dr.habibasgharpour@aliabadiu.ac.ir](mailto:Dr.habibasgharpour@aliabadiu.ac.ir)

3-Associate Professor Department of Exercise Physiology, Sari Branch, Islamic Azad University, Sari, Iran

4- Assistant Professor, Department of Physical Education & Sports Sciences, Aliabad Katoul Branch, Islamic Azad University, Aliabad Katoul, Iran

Received:2022.08.25

Accepted: 2023.03.09

### Abstract

**Background and Aim:** Apart from high blood pressure and coronary artery disease, diabetes can directly affect the structure and function of the heart and lead to a complication called diabetic cardiomyopathy. The purpose of this study is to investigate the effect of two types of training and the drug atrostatin on the expression of PP2Ac and GSK-3 $\beta$  genes in the heart tissue of diabetic model rats.

**Methods and Materials:** 64 male rats, which were randomly divided into 8 groups: including 1) control, 2) diabetic, 3) diabetic + persistent, 4) Diabetic + periodic, 5) atherostatin, 6) continuous + atrostatin, 7) periodic + atrostatin and 8) saline. The rats of the exercise groups performed two types of continuous and intermittent exercise 5 days a week for 8 weeks. Atrostatin was injected intraperitoneally daily at a dose of 20 mg per kg body weight.

**Results:** Induction of diabetes led to a decrease in the expression of the PP2Ac gene and an increase in the expression of the GSK-3 $\beta$  gene in the heart tissue, and continuous exercise and the combination of intermittent and continuous exercise with the drug atrostatin led to an increase in PP2Ac and a decrease in GSK-3 $\beta$  in the heart tissue of diabetic rats compared to the diabetic group.

**Conclusion:** It is possible that regular exercise in combination with atrostatin can prevent the development of diabetes-induced cardiomyopathy by increasing the PP2Ac gene and decreasing the GSK-3 $\beta$  gene in the heart tissue which has a protective effect on the heart of diabetic rats.

**Keywords:** Continuous and intermittent exercise, atherostatin, diabetic cardiomyopathy, GSK-3 $\beta$ , PP2Ac.